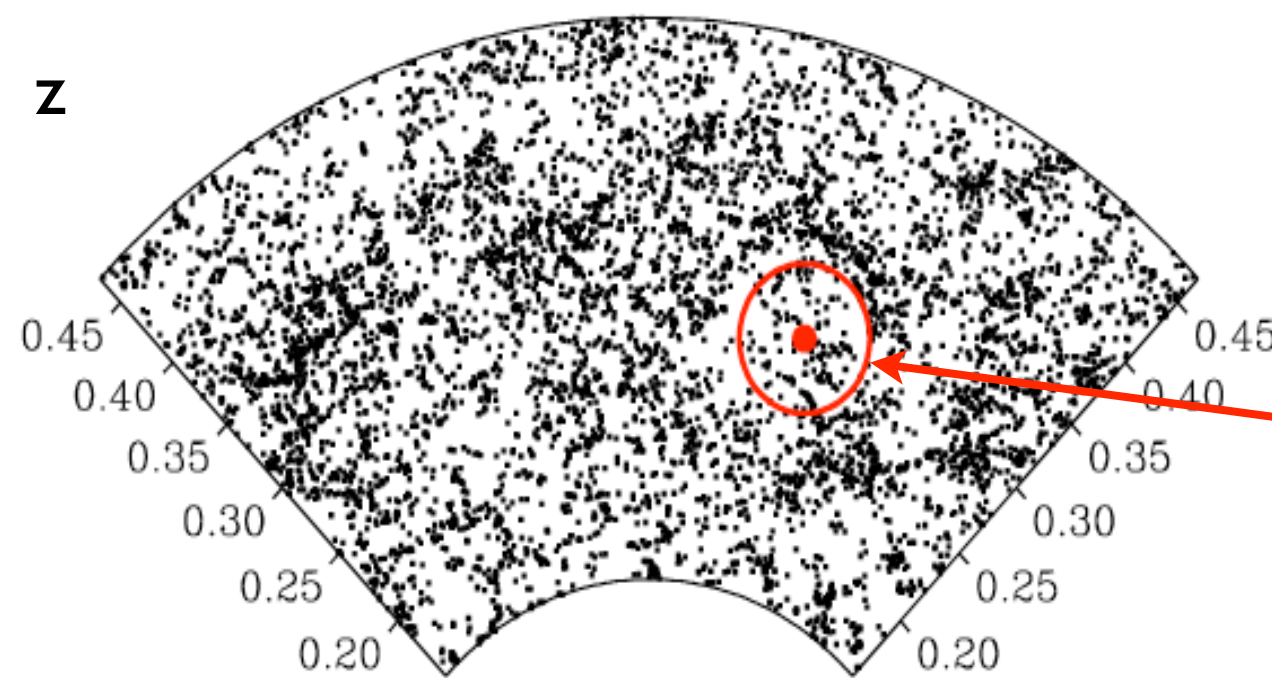
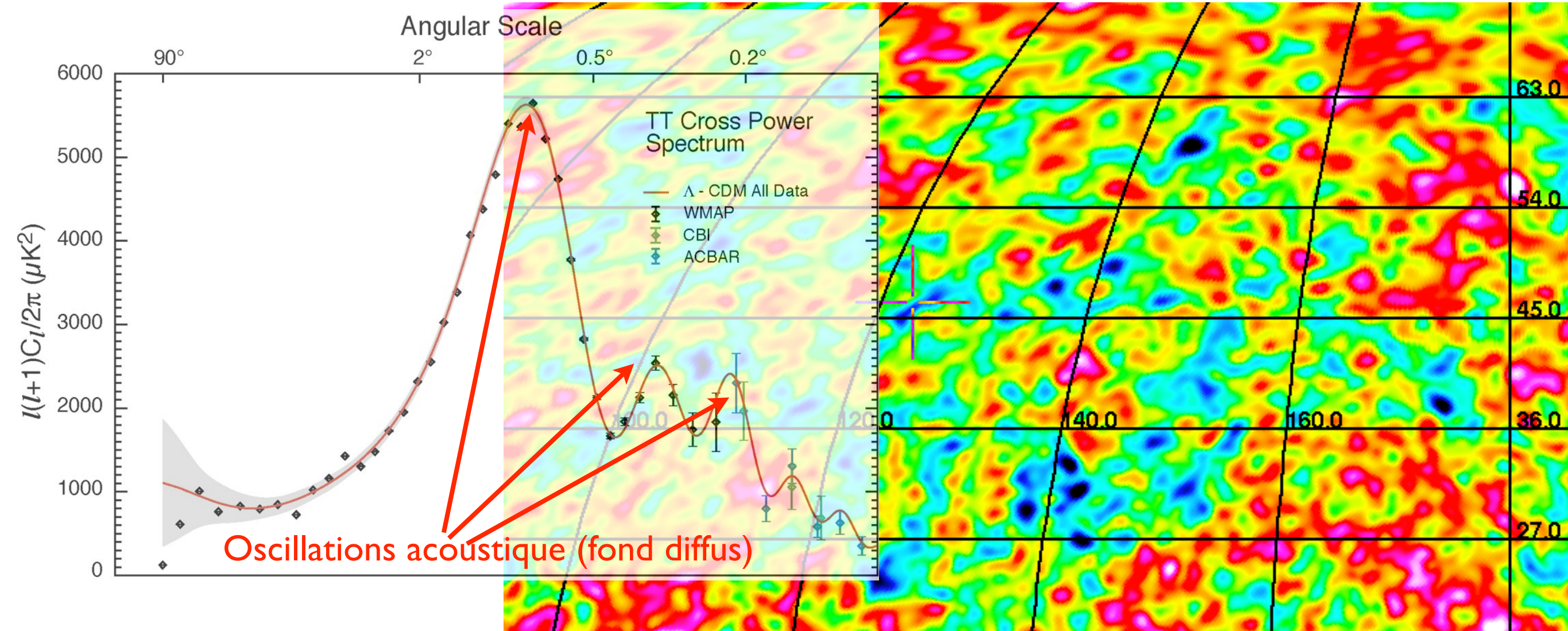


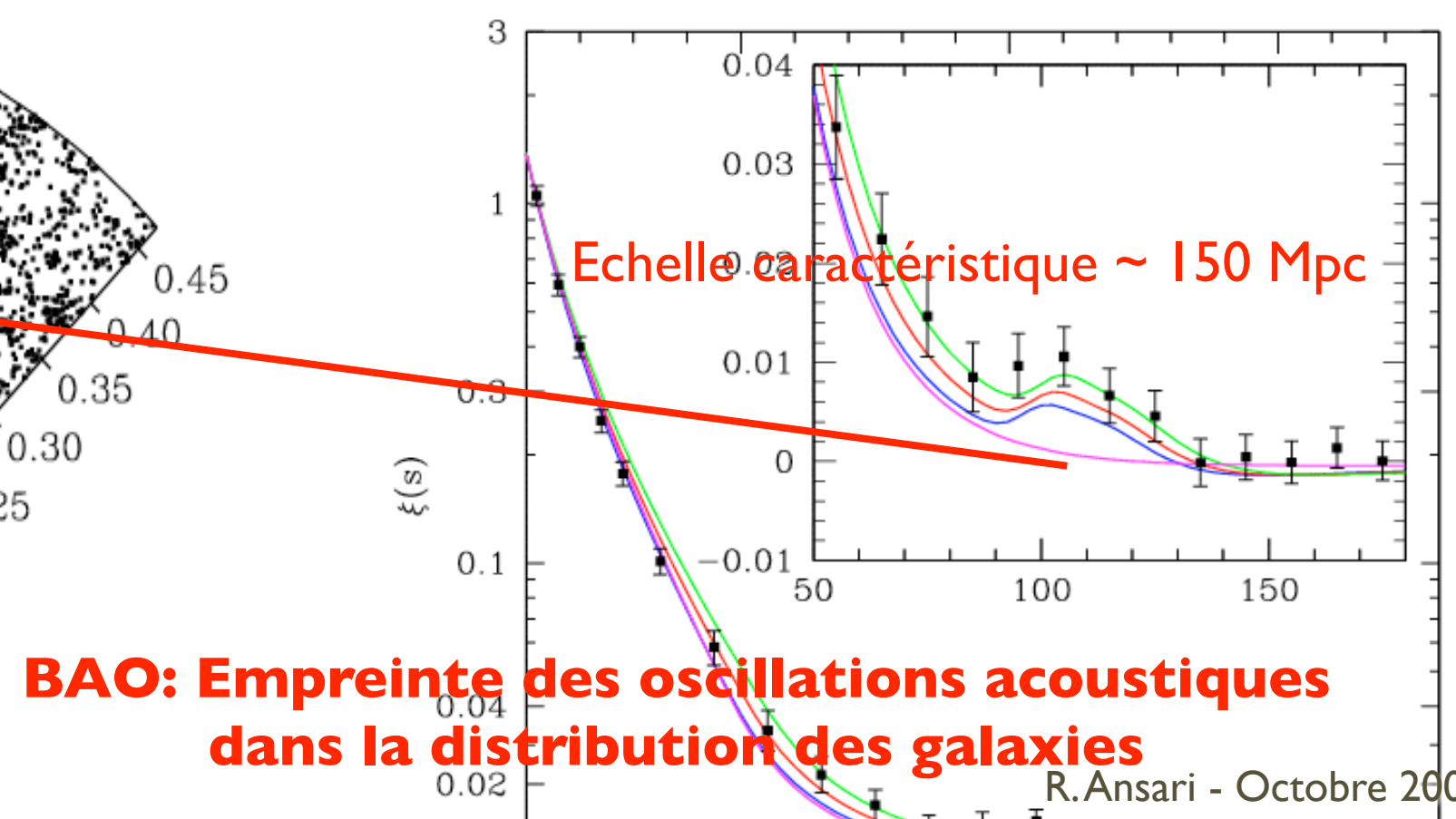
Les Oscillations Acoustiques Baryoniques (BAO) en radio

Forum Pre-SKA
R. Ansari
9 Octobre 2009

- Les Oscillations Acoustiques Baryoniques et l'énergie noire
- BAO en radio
 - Observation des galaxies
 - Cartographie 3D de l'émission H₂I
- Projet BAORadio : R&D en France
 - Développement de la chaîne électronique
 - Tests à Nançay et à Pittsburgh



Distribution galaxies
plan (z , angle (α, δ))



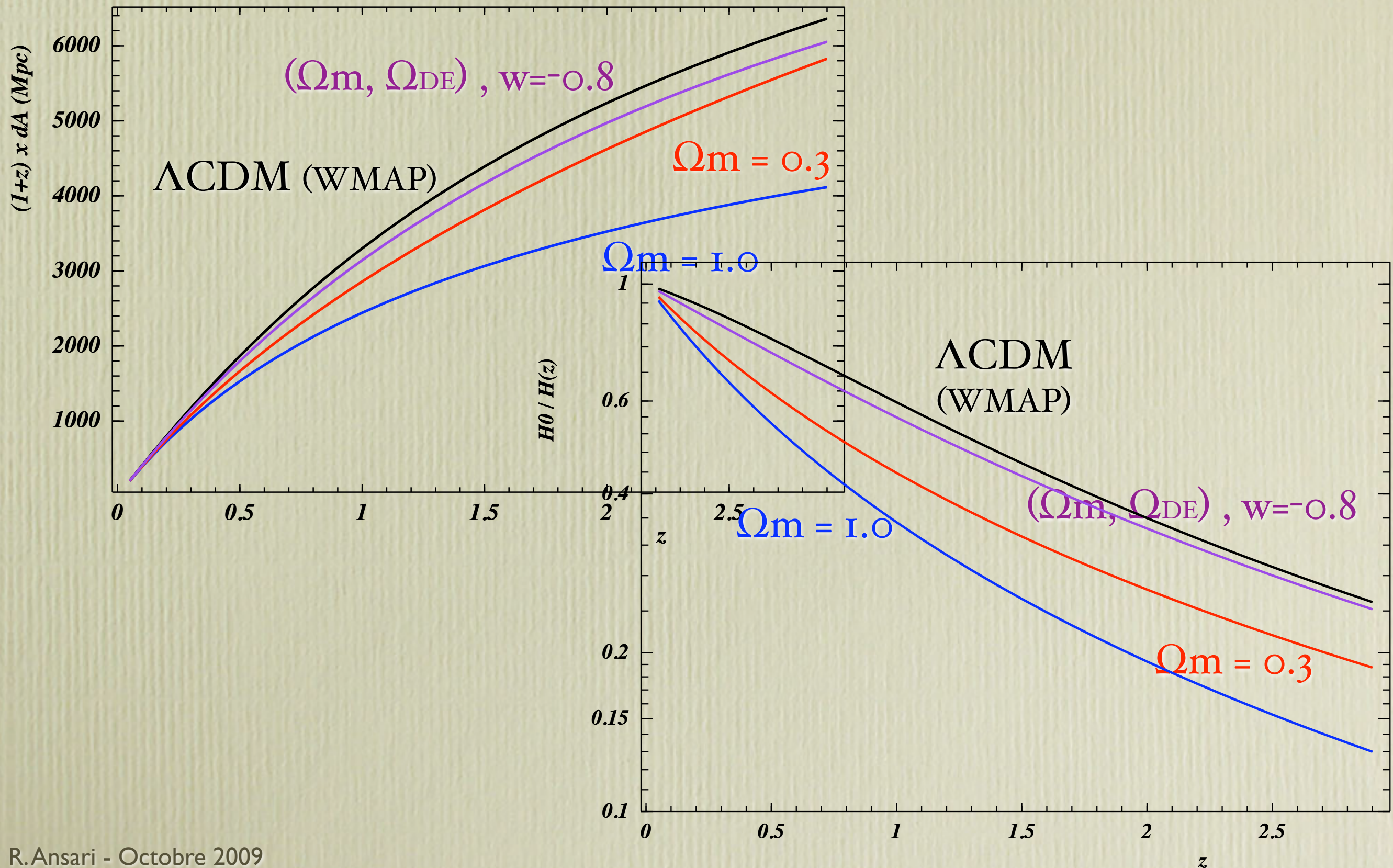
BAO: Empreinte des oscillations acoustiques
dans la distribution des galaxies

BAO : Oscillations Acoustiques Baryoniques

- Empreintes laissées par les oscillations du fluide baryons-photons dans la distribution de la matière ordinaire (lumineuse) au cours de la formation des structures
- Modulation de la distribution de matière baryonique, qui suit essentiellement la matière sombre, dans des structures formées par croissance des fluctuation de densité et effondrement gravitationnel
- Sonde cosmologique de type règle standard - avec une mesure @ $z \sim 1100$ en prime (anisotropies du fond diffus micro-ondes)

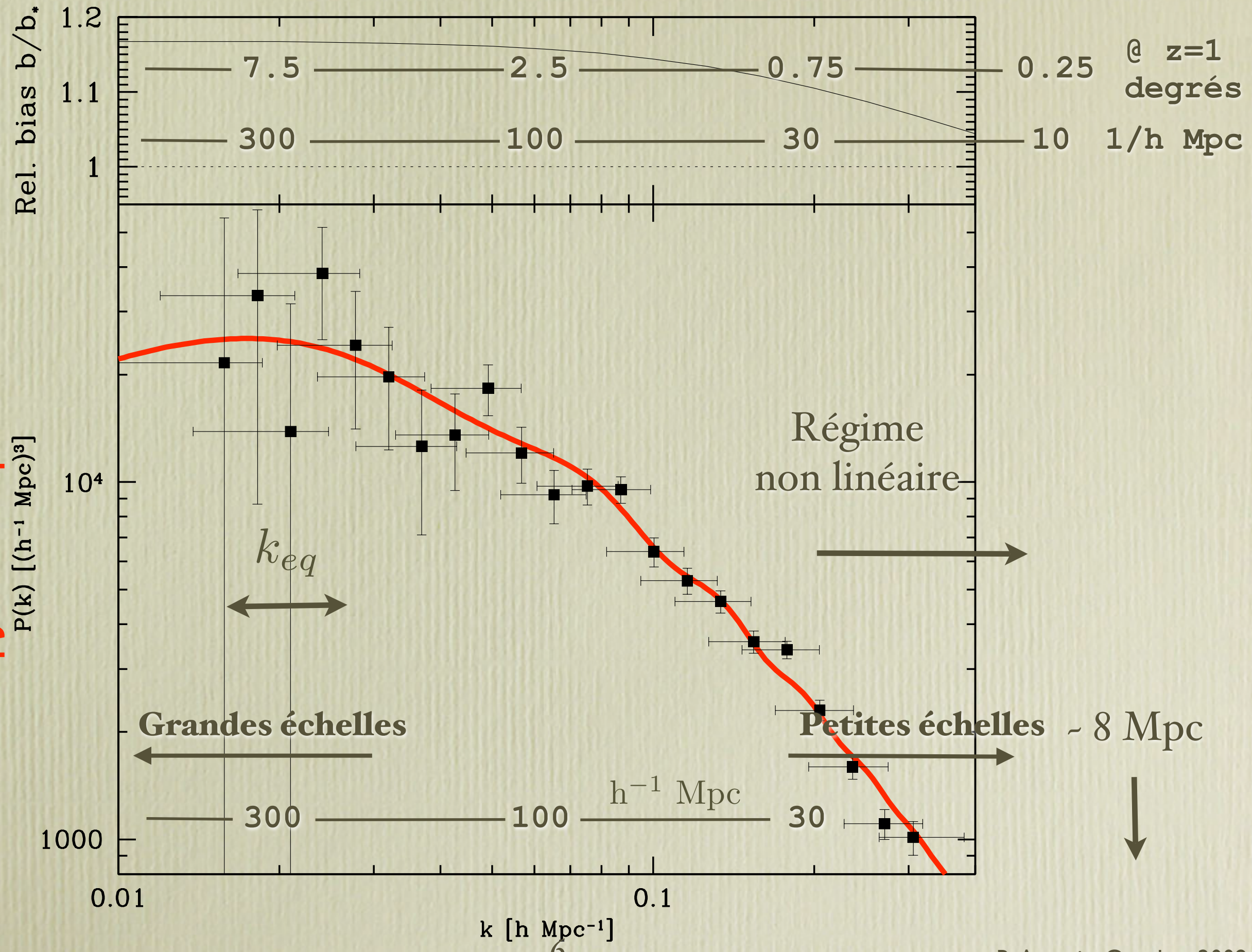
Distance de diamètre angulaire $d_A(z)$

Taux d'expansion $H_0 / H(z)$ (BAO radial/LOS)



SDSS - M. Tegmark et al.

ApJ, astro-ph/03010725

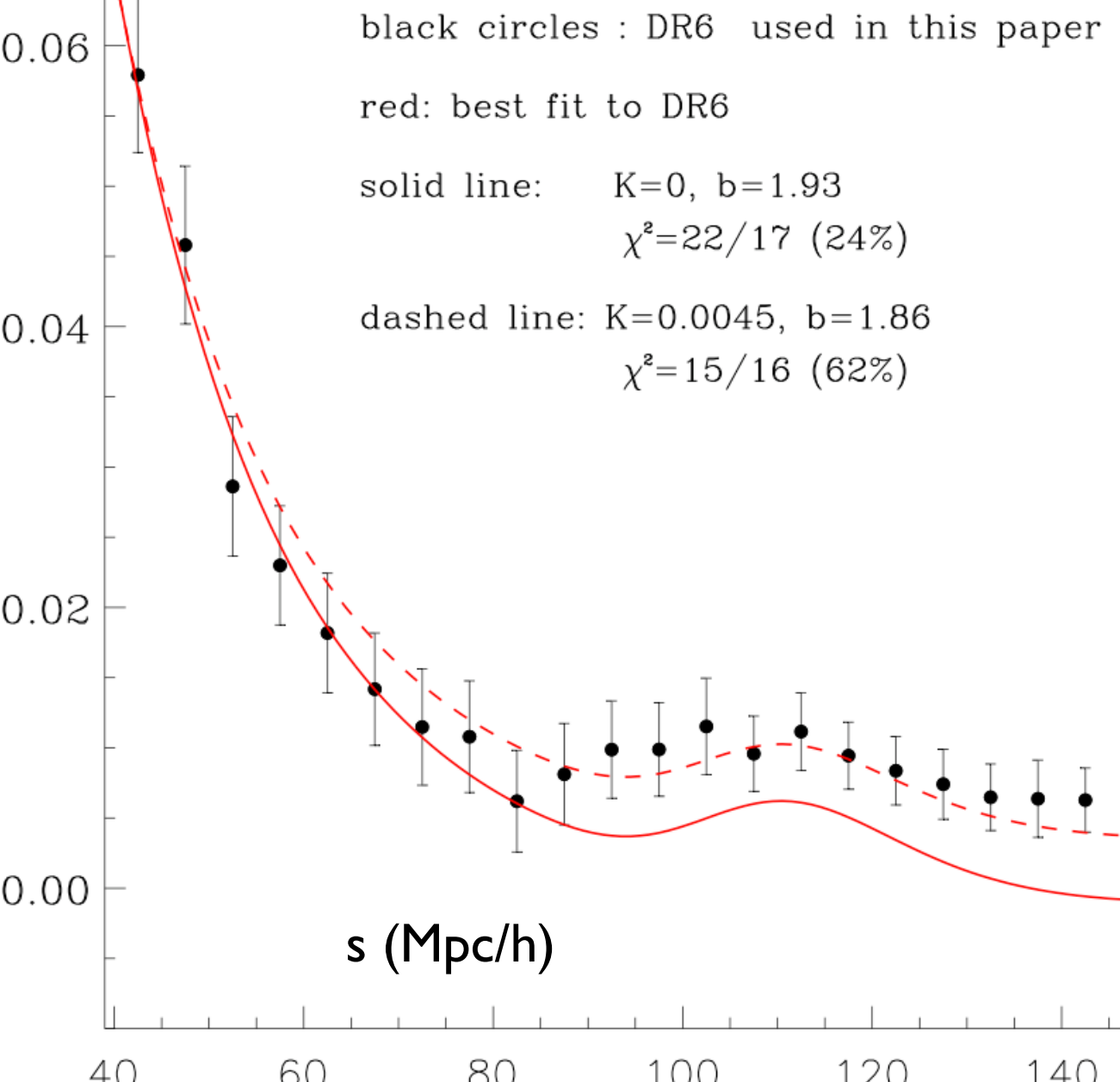


SDSS DR6 - A.G. Sanchez et al.

MNRAS , astro-ph/0901.2570

SDSS-LRG 75000 LRG's

~ 6000 deg^2 0.15 < z < 0.47



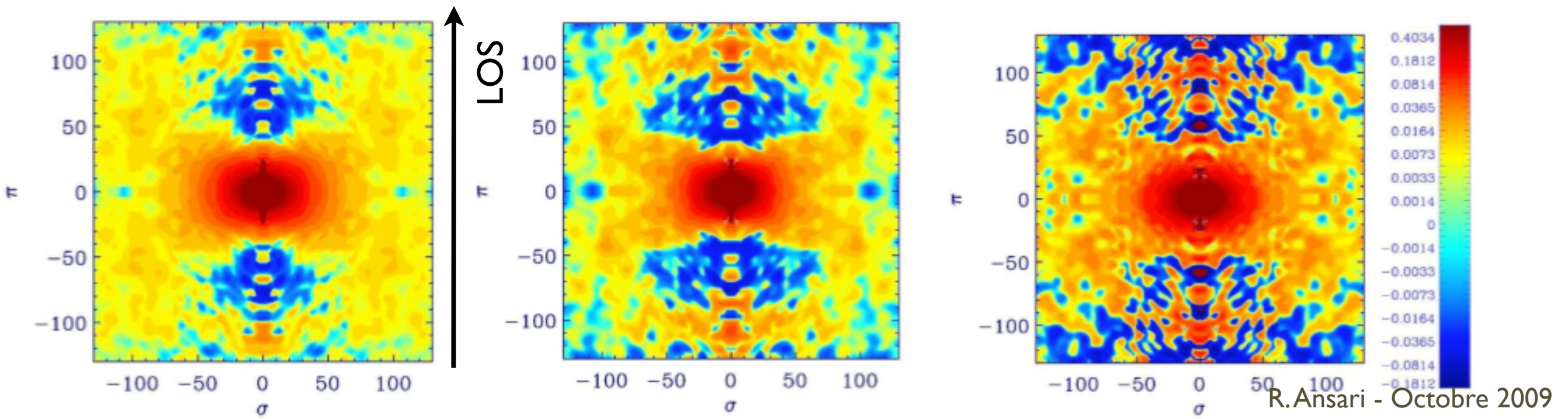
SDSS DR6 - E. Gaztanaga et al.

MNRAS , astro-ph/0807.3551

SDSS-LRG 75000 LRG's

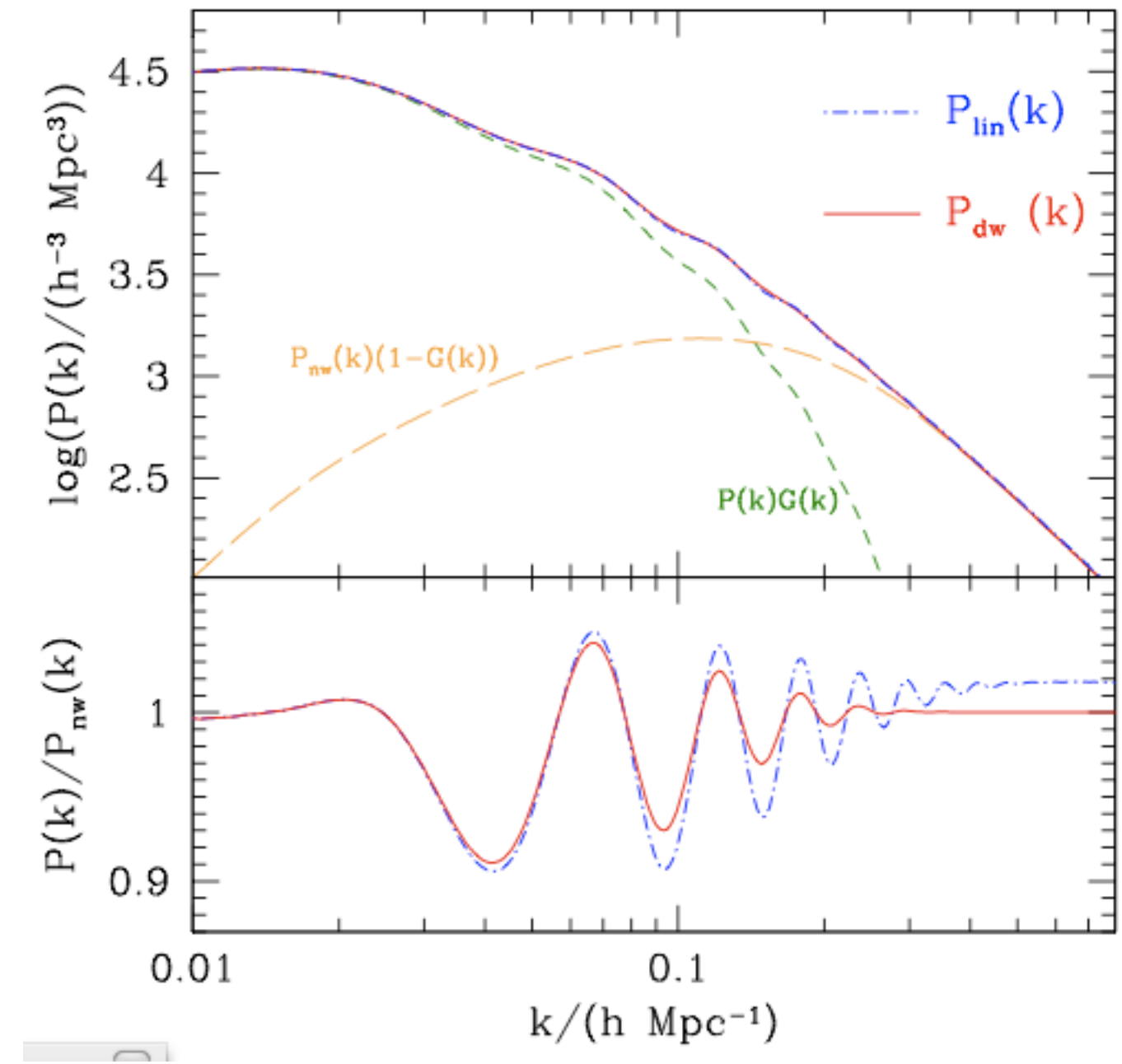
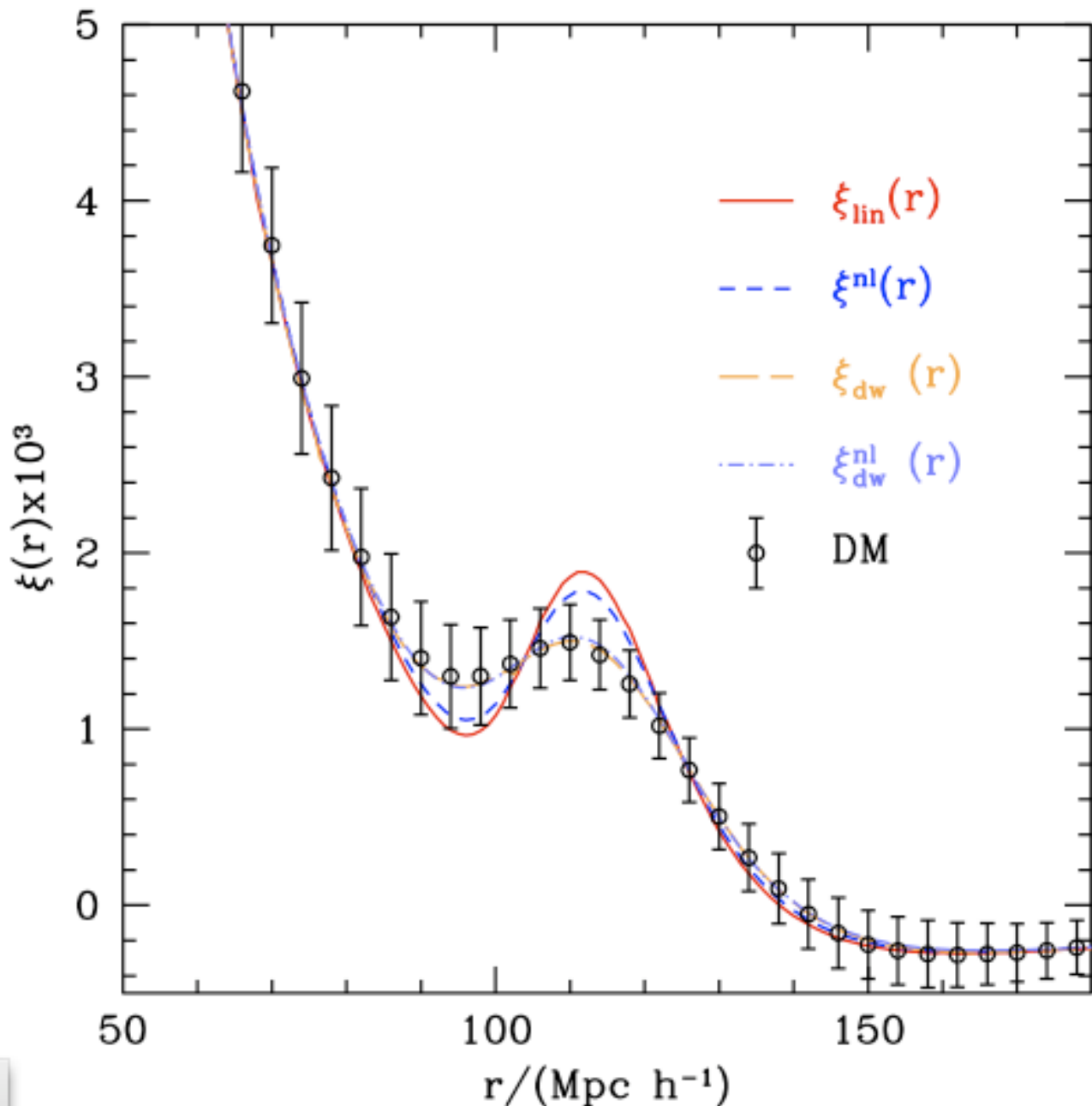
~ 6000 deg^2 0.15 < z < 0.47

Line of sight / transverse $\xi(\pi, \sigma)$



Biais et effets systématiques

- Effets exotiques changeant l'horizon acoustique
- $P(k)$ et le régime non linéaire (élargit/déplace le pic de corrélation)
- Biais : traceurs (galaxies) / matière noire, effets d'évolution
- Distorsion dans l'espace des redshifts
- Biais de sélection
- Géométrie du relevé,
- Autres biais/erreurs induits par les observations (photo-z ...)
- Avant-plans en radio



Régime non linéaire et effet sur les BAO

A.G.Sánchez et al astro-ph/0804.0233

Incertitudes statistiques sur l'estimation de P(k)

- L'incertitude intrinsèque, donnée par le nombre de modes observées ou mesurés
- Shot noise (bruit de grenaille) du à l'échantillonnage de Poisson du champ de densité par les objets traceurs (galaxies)

$$\sigma_P = \sqrt{\frac{4\pi^2}{\delta k V_{surv}}} \left[P + \frac{1}{n_{gal}} \right]$$

$$\frac{1}{n_{gal}} = P_{shotnoise}$$

n_{gal} : Galaxy number density

- Bruit en mode imagerie radio (cartographie de l'intensité d'émission H₂I)
- Avant-plans en radio

BAO en radio

• A la manière des relevés optiques :

≡ Identification des sources d'émissions HI (21 cm),
détermination de la position angulaire et du décalage vers le
rouge - Détermination de la fonction de corrélation à deux
points ou le spectre $P(k)$ à partir du catalogue des objets
identifiés

• A la manière des observations du fond diffus :

≡ Cartographie à trois dimensions de l'émission HI (21 cm)
 $T_{21}(\alpha, \delta, z)$ - Estimation et soustraction des avant-plans,
détermination du spectre $P(k, z)$ sur les données du cube 3D

BAO en radio avec les galaxies

$$S_{21}^{Jy} \simeq 0.021 10^{-6} \text{ Jy} \frac{M_{H_I}}{M_\odot} \times \left(\frac{1\text{Mpc}}{D_L} \right)^2 \times \frac{200 \text{ km/s}}{\sigma_v}$$

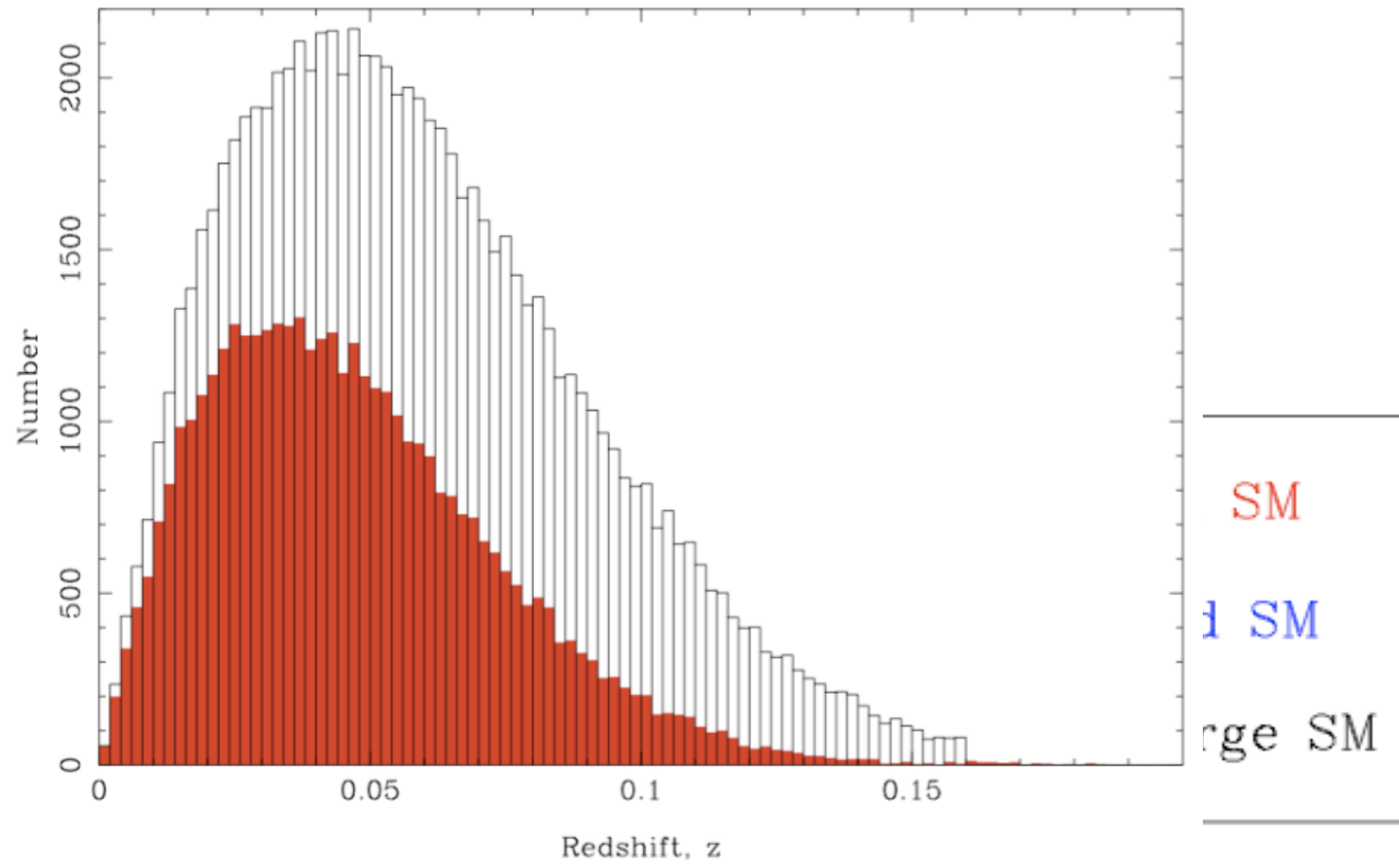
$$S_{lim} = \frac{2 k T_{sys}}{A \sqrt{2t_{integ} \Delta\nu}}$$

S_{lim} en μJy pour
 $t_{integ} = 86400 \text{ s}$, $\nu = 1 \text{ MHz}$

S_{21} en μJy pour $M_{H_I} = 10^{10} M_\odot$

$A (m^2)$	$T_{sys} (K)$	$S_{lim} (\mu\text{Jy})$
5000	50	66
5000	25	33
100000	50	3.5
100000	25	1.7

z	$S_{21} (\mu\text{Jy})$
0.25	140
0.50	27
1.0	4.8
1.5	1.74
2.0	0.85



Blue, Outside X-ray Gas

Non-[OII] Emission

[OII] Emission

Inner

Outer

Average HI Mass ($\log M_{\odot}$)

9 9.5 10 10.5

All

Red

Blue

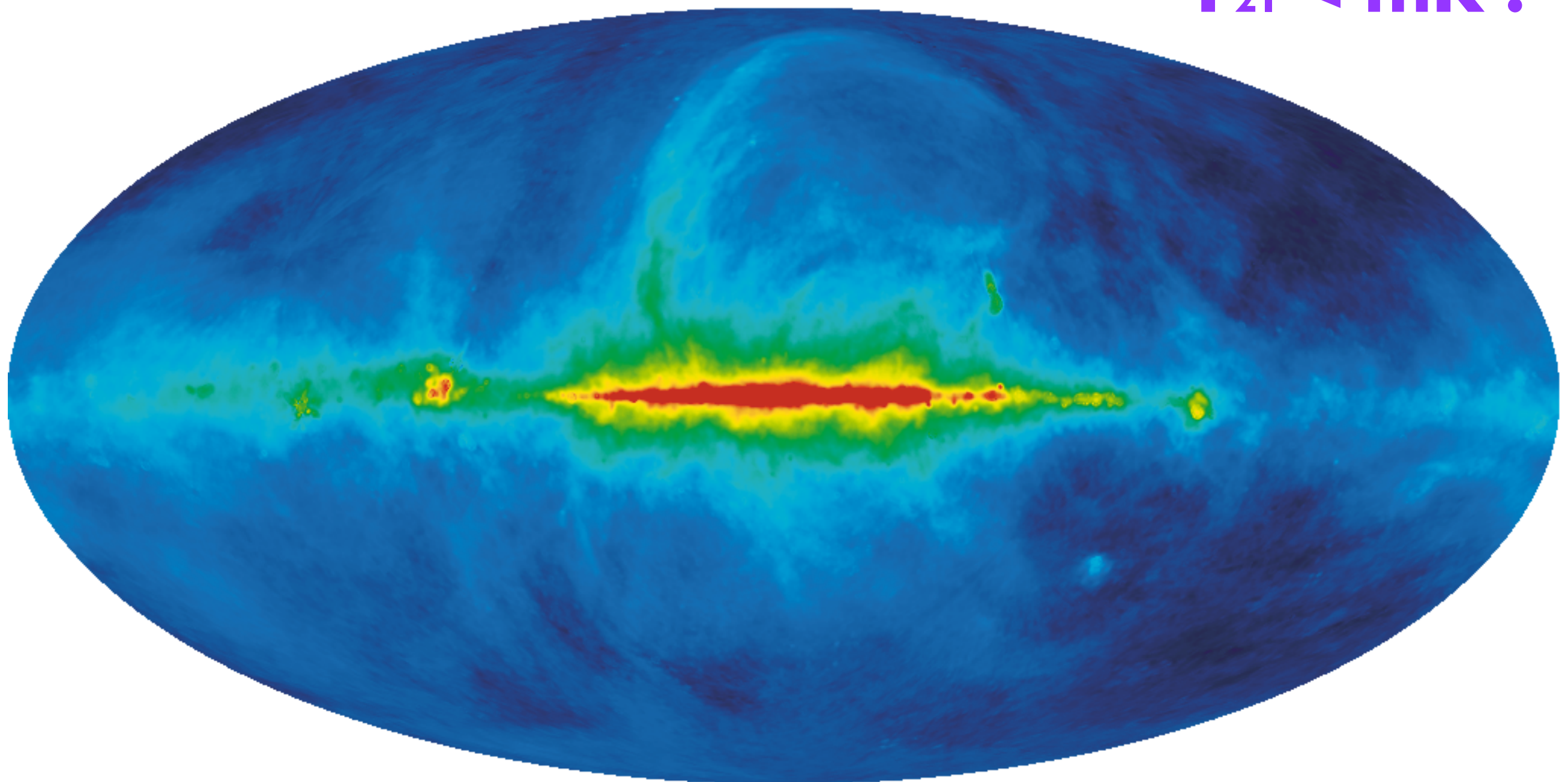
Amas Abell 370, $z=0.37$
Lah et al , astro-ph/0907.1416 →

BAORadio-CRT : Concept de l'instrument

- Cartographie de la distribution de masse HI par mesure d'intensité à 21 cm (Pas de détection de source)
- Instrument de type synthèse-de-lobe/interféromètre à grand champ ($10\text{-}100 \deg^2$)
 - ≥ 1000 lobes simultanés → Système numérique
- Récepteurs large bande (200-250 MHz) numériques
- Corrélateur/beamformer numérique : flux - TO/s
- Antennes (réflecteurs) à bas coût cylindriques fixes (ou petites paraboles)
- Résolution 5-10 arcmin, Surface $\geq 10\ 000 \text{ m}^2$
 - Antennes réparties sur $\sim 200 \text{ m} \times 200 \text{ m}$

BAO avec une cartographie $T_{2I}(\alpha, \delta, z)$

- ✓ Ne nécessite qu'une résolution angulaire de 10^{-15} arcmin
- ▶ Bruit instrumental
- ▶ Difficulté de soustraction des avant plans et des sources radio



10 K ————— Temp. T (Ech. Log) ————— 250 K

Carte Haslam à 408 MHz (émission
Synchrotron de la Galaxie)

Spectre $P(k)$ H_{21} en température

$$T_{21}(z) \simeq 0.57 \text{ mK} \times \frac{(1+z)^2}{\sqrt{\Omega_m(1+z)^3 + \Omega_\Lambda}} \left(\frac{h_{100}}{0.7} \right) \left(\frac{\Omega_B}{0.04} \right) \left(\frac{f_{H_I}(z)}{0.1} \right)$$

$$P(k)_{Temp} = P(k)_{masse} \times [T_{21}(z)]^2$$

$$\text{Variance}(P(k)) = \sigma_{P(k)}^2$$

$$\sigma_{P(k)} = P(k) \times \sqrt{\frac{4\pi^2}{\delta k V_{surv}}}$$

$f_{H_I}(z)$: fraction des baryons sous forme $H_I \sim 0.02$

$\delta k \sim 0.01 \rightarrow D \sim 5m$

$$\text{PNoise} = \kappa \times T_{sys} \times T_{sys} \times \frac{v_{pix}}{t_{int} \delta\nu}$$

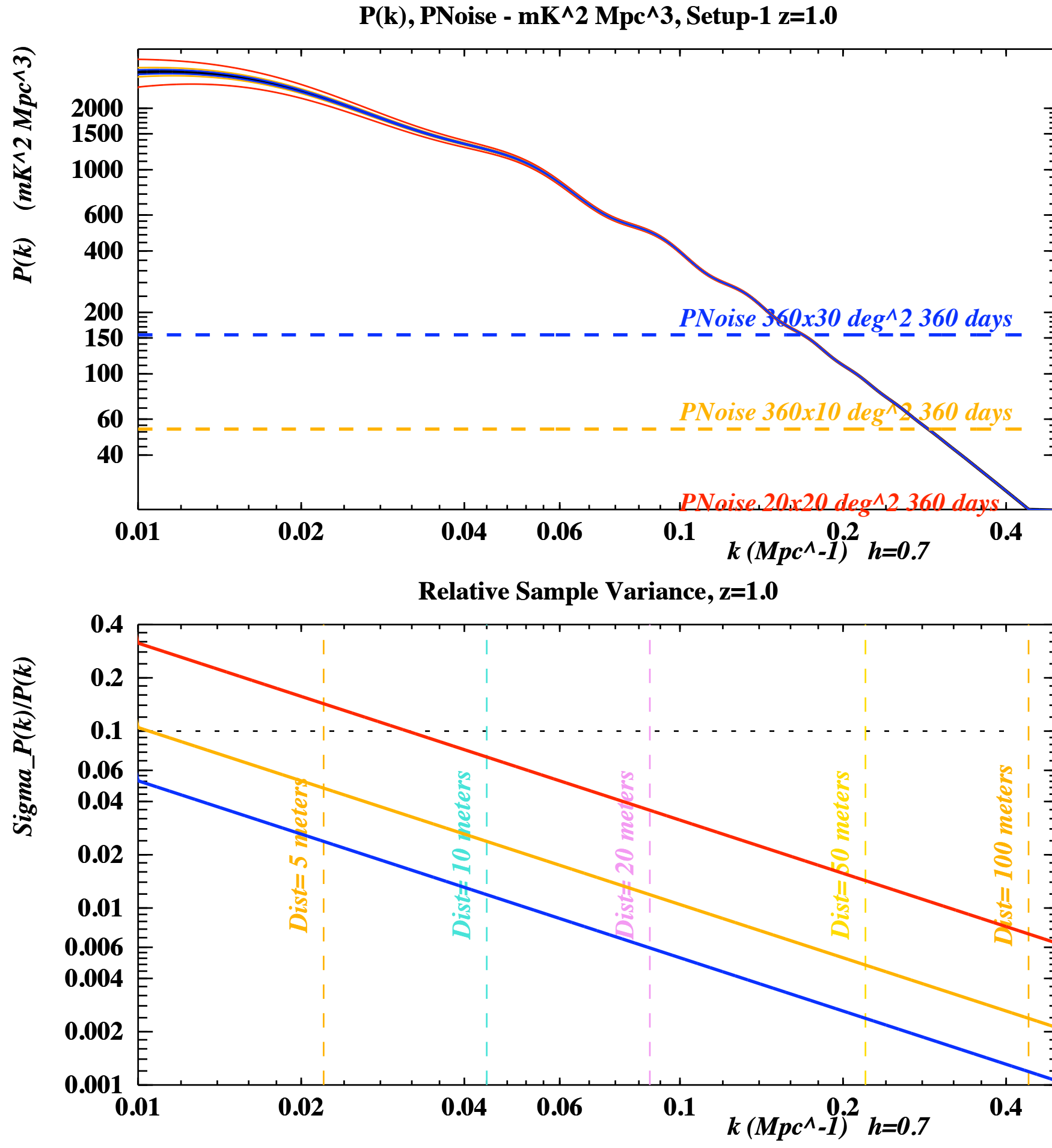
$$\kappa = \left(\frac{1}{\text{FillFactor}} \right)^2$$

$$\text{Resolution} \simeq 5 \text{ arcmin} \quad (@z \sim 0.5)$$

$$v_{pix} \simeq 3Mpc \times 3Mpc \times 4Mpc \sim 36Mpc^3$$

$$\delta nu = 1 \text{ Mhz}$$

**P₂₁(k, z=1.0) - P_{Noise}(T_{sys}=50 K)
FOV ~ 20 deg² S ~ 10 000 m²**



BAO - Radio R&D en cours

Carnegie Mellon

IN2P3

INSTITUT NATIONAL DE PHYSIQUE NUCLÉAIRE
ET DE PHYSIQUE DES PARTICULES

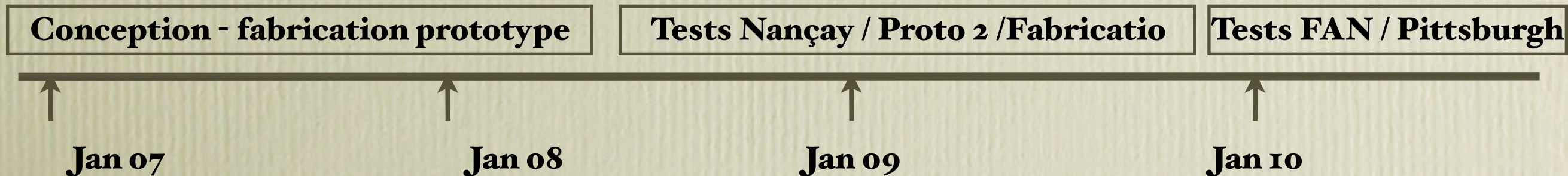


the David &
Lucile Packard
FOUNDATION

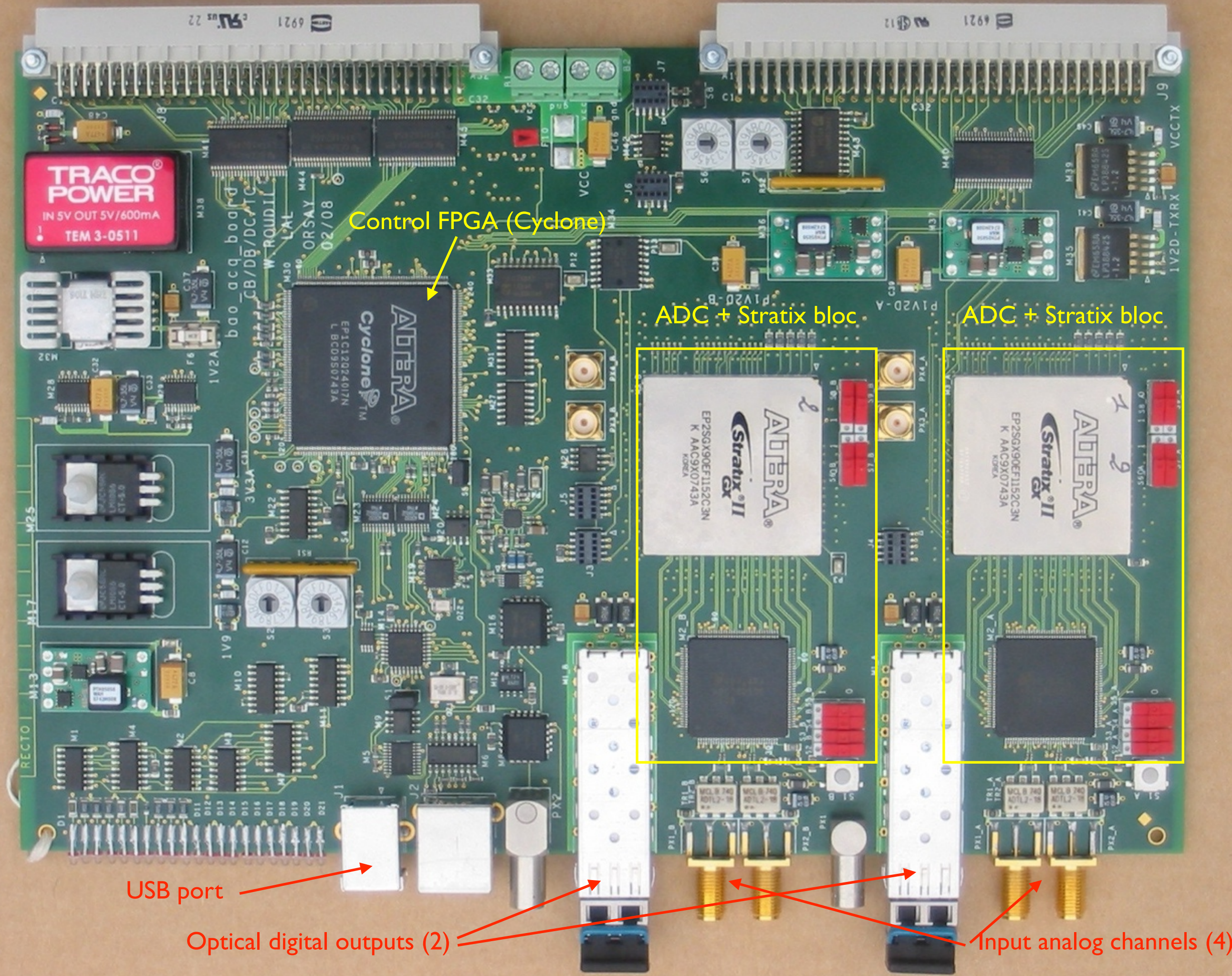


Prototype CRT-BAORadio

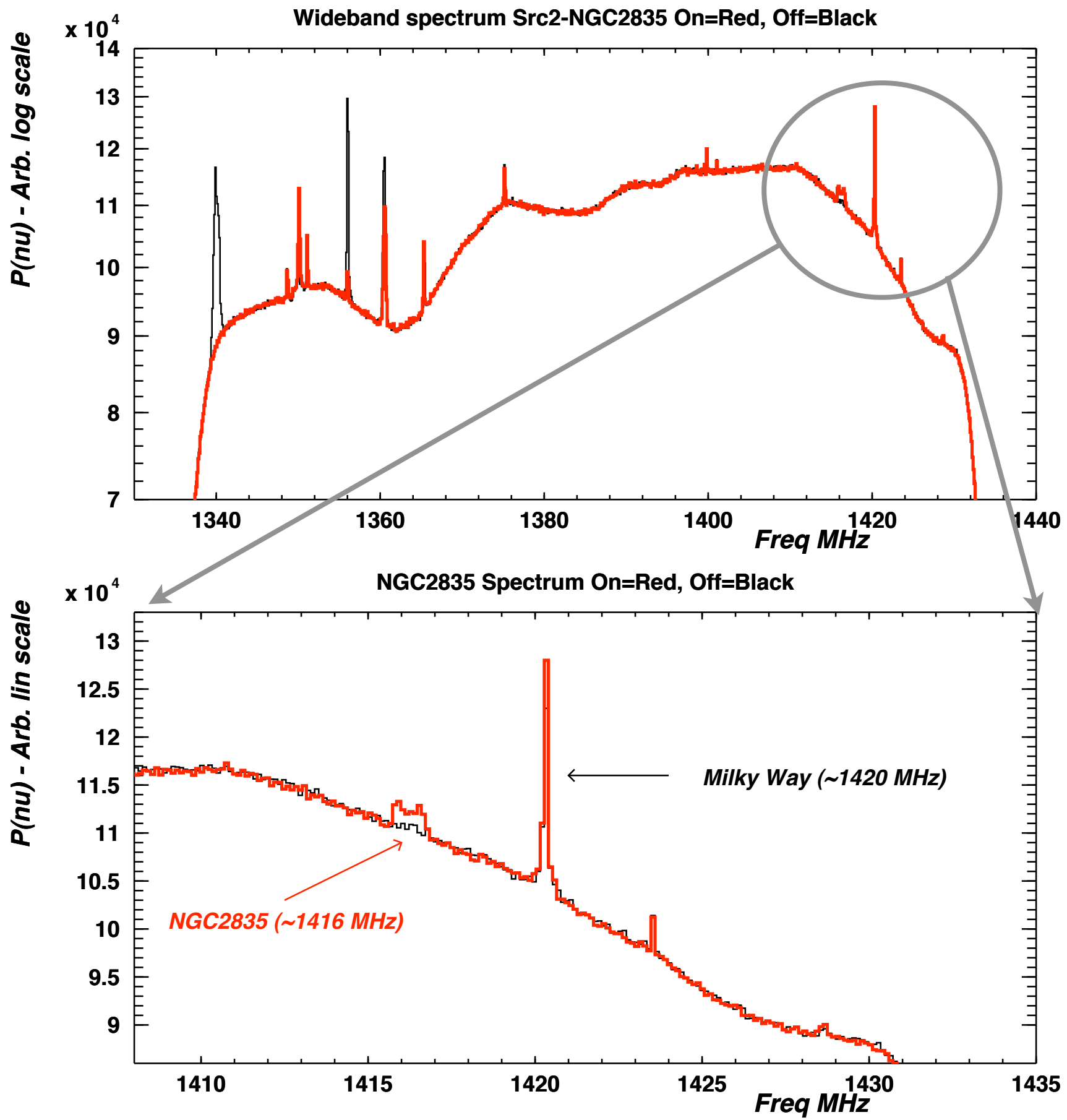
- Construction de deux réflecteurs cylindriques longxlarg ~ 25m × 10m - résolution ~ 1 deg terminée (CMU-Pittsburgh) - 64 cartes x 4 récepteurs (dipôles) / carte = 256 dipôles, 128 / cylindre
- Etude et construction d'un prototype électronique ~ 32 voies (70k€) : LAL + DAPNIA (filtrage, numérisation @ 500 MHz, FFT, transfert et traitement sur PC)
- Tests auprès du radiotélescope de Nançay
- Tests sur les réflecteurs cylindrique de Pittsburgh
- Equipement du proto FAN
- Faisabilité - validation de la technique reconstruction multilobe par traitement numérique. Evaluation réaliste des coûts





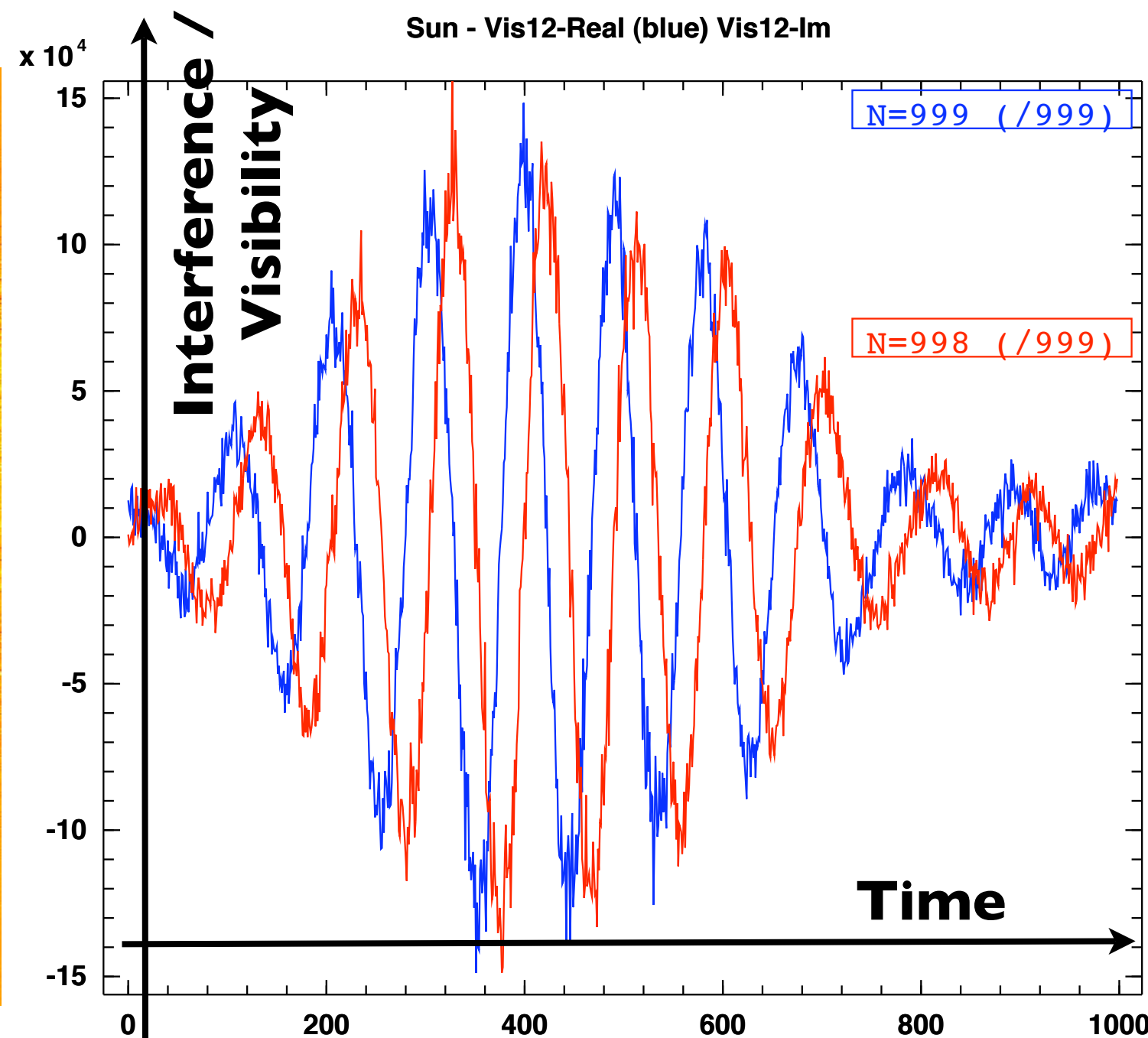
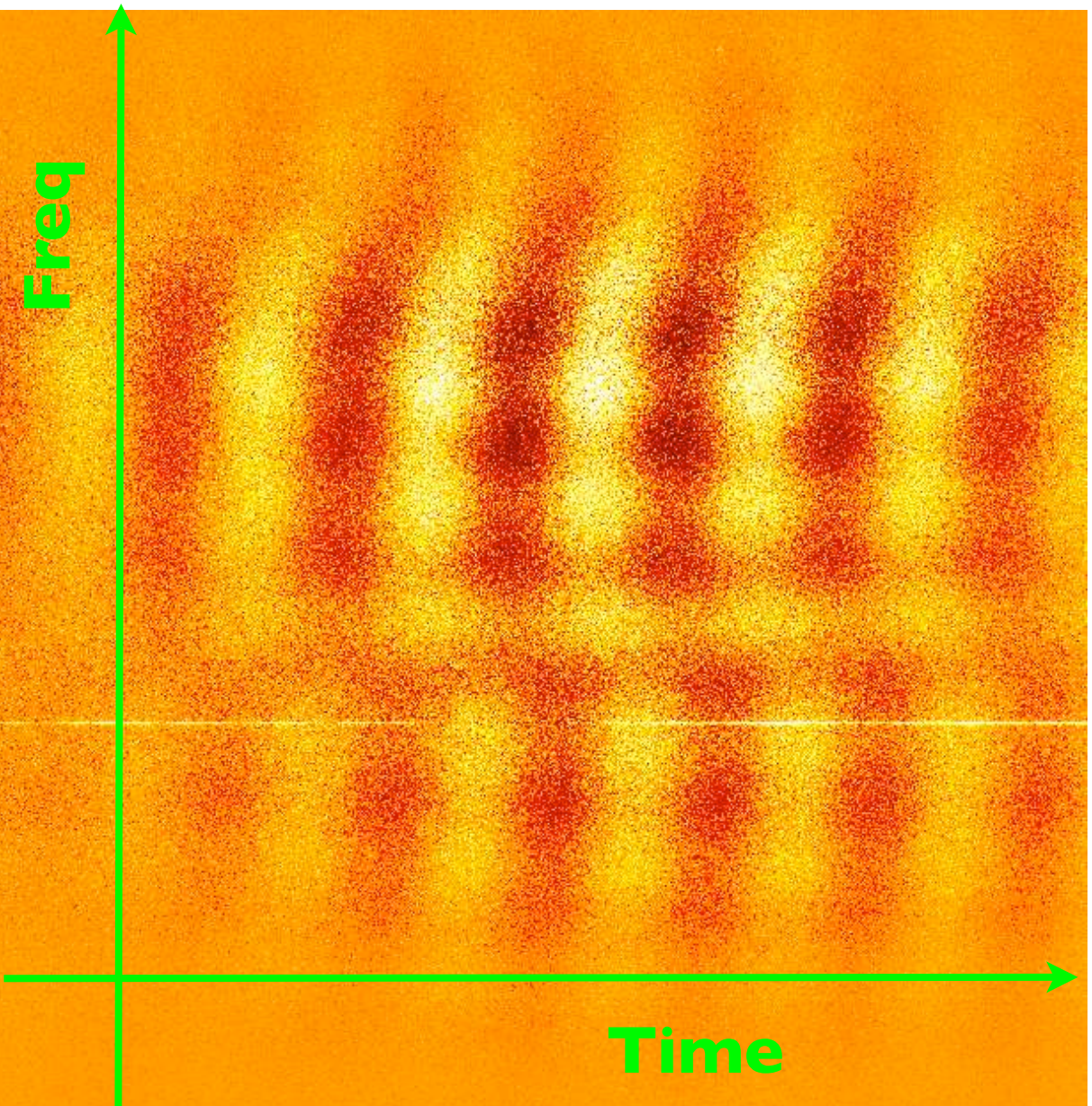


Tests at Nançay - July 2008

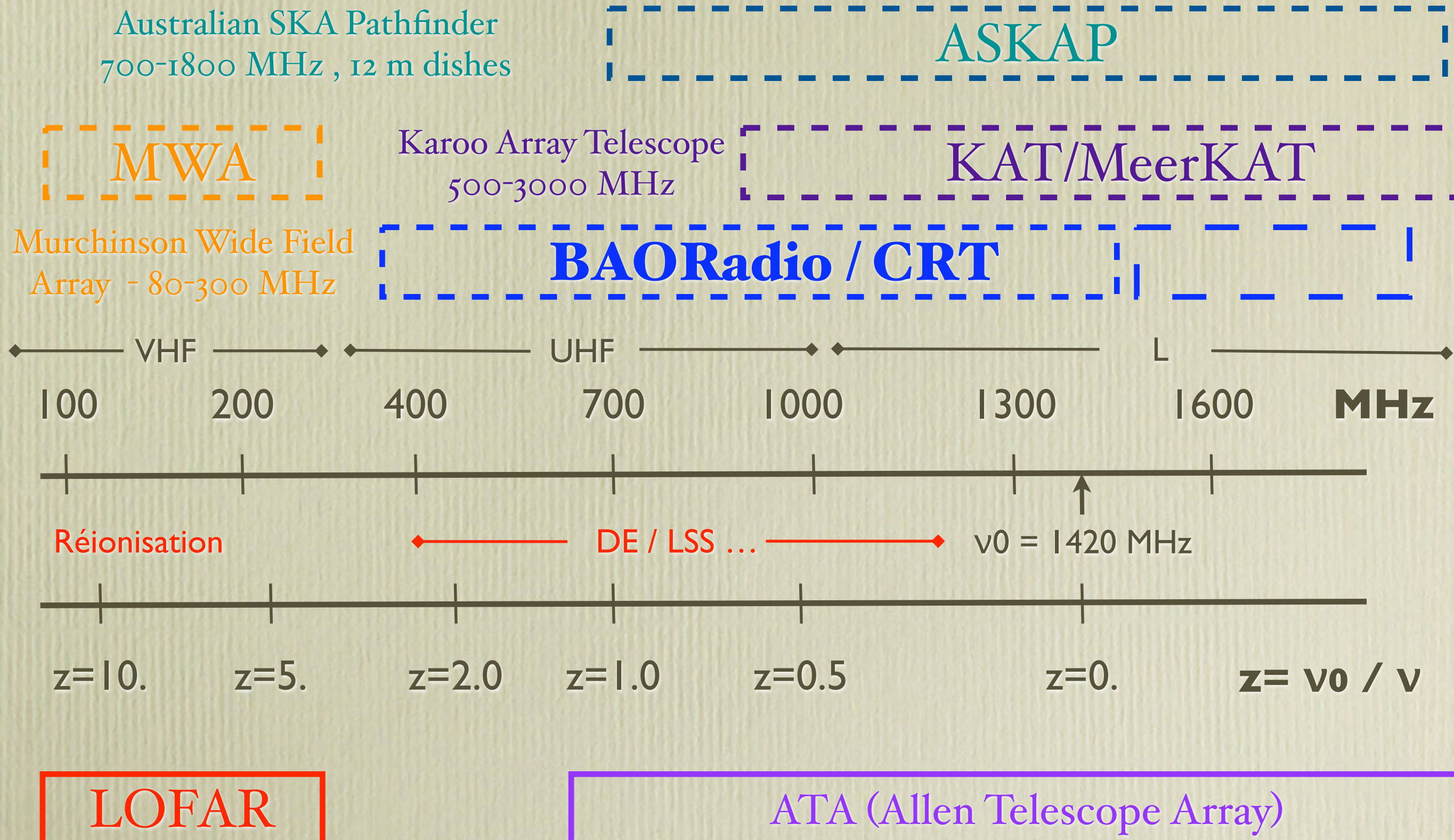




Tests à Pittsburgh, Juin 2009



SKA : < 100 MHz ... 20 GHz , < 1 arcsec resolution

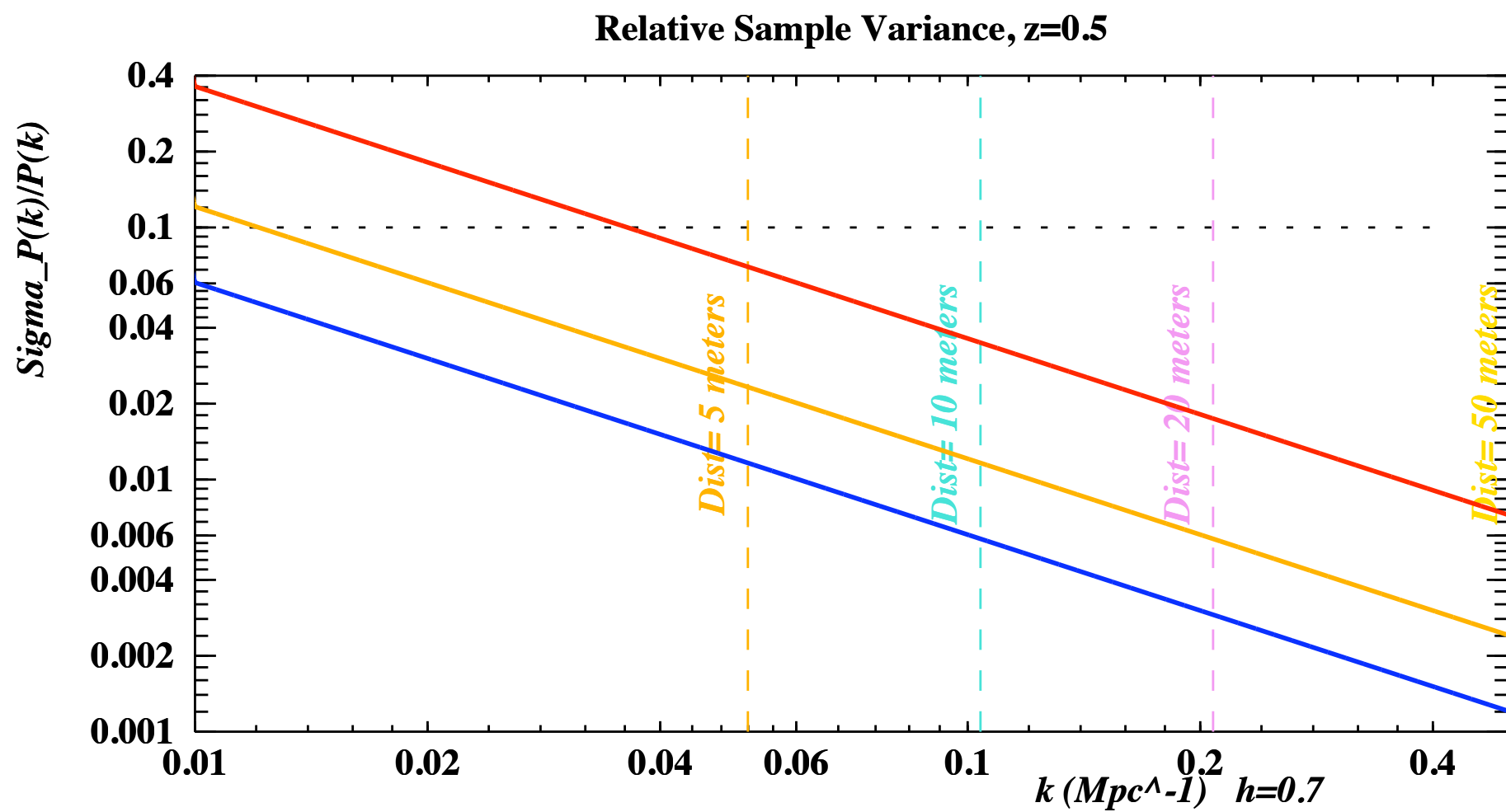
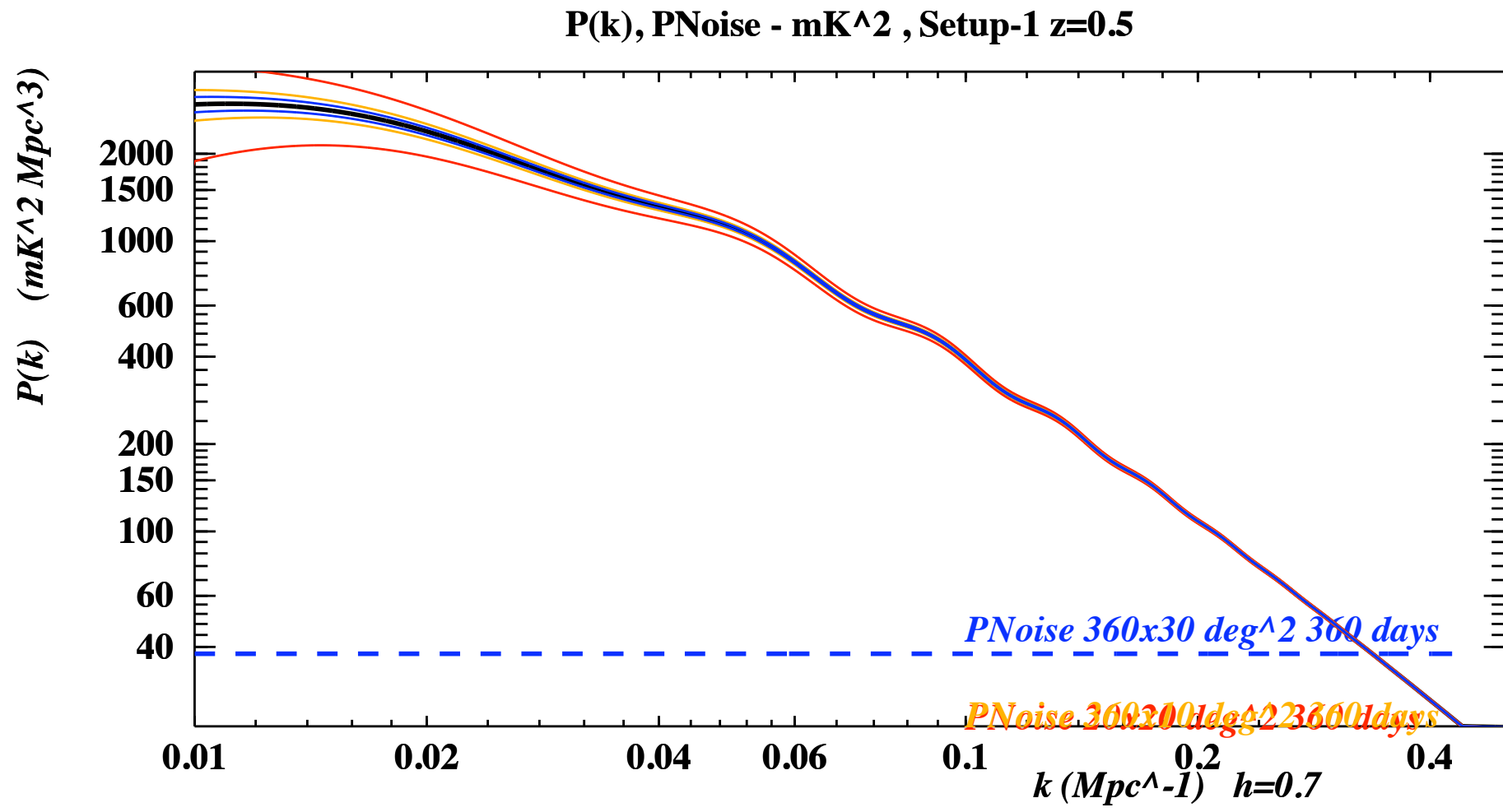


Conclusion

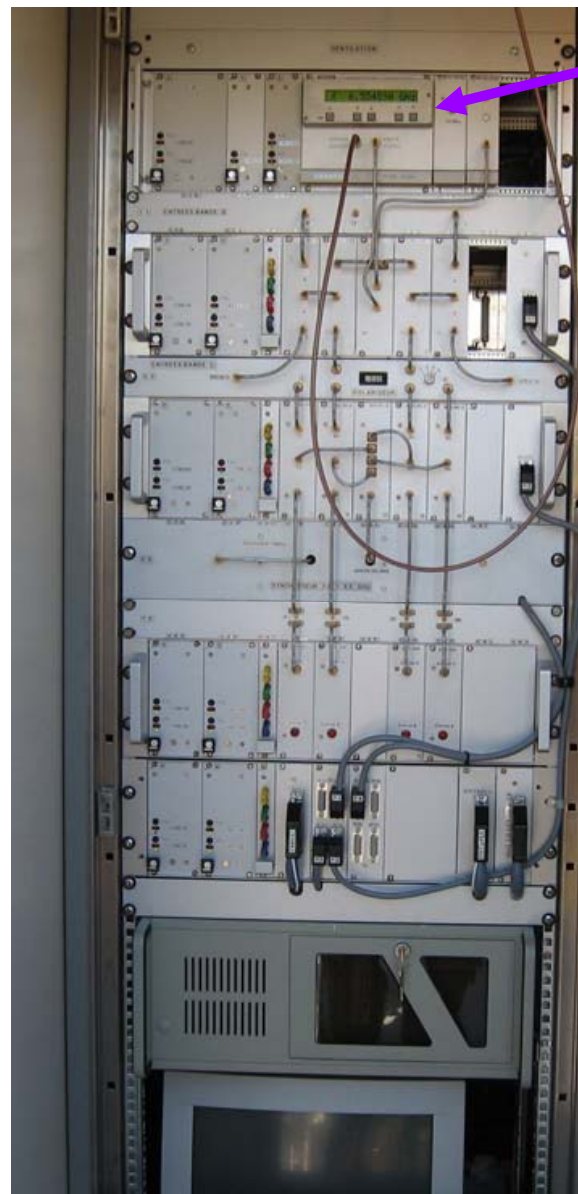
- Complémentarité des projets optiques / radio
- Nouvelle approche : Cartographie de l'émission de l'hydrogène neutre
- Développements techniques (électronique, FAN ...) en France, complémentaire de l'effort SKA

Compléments

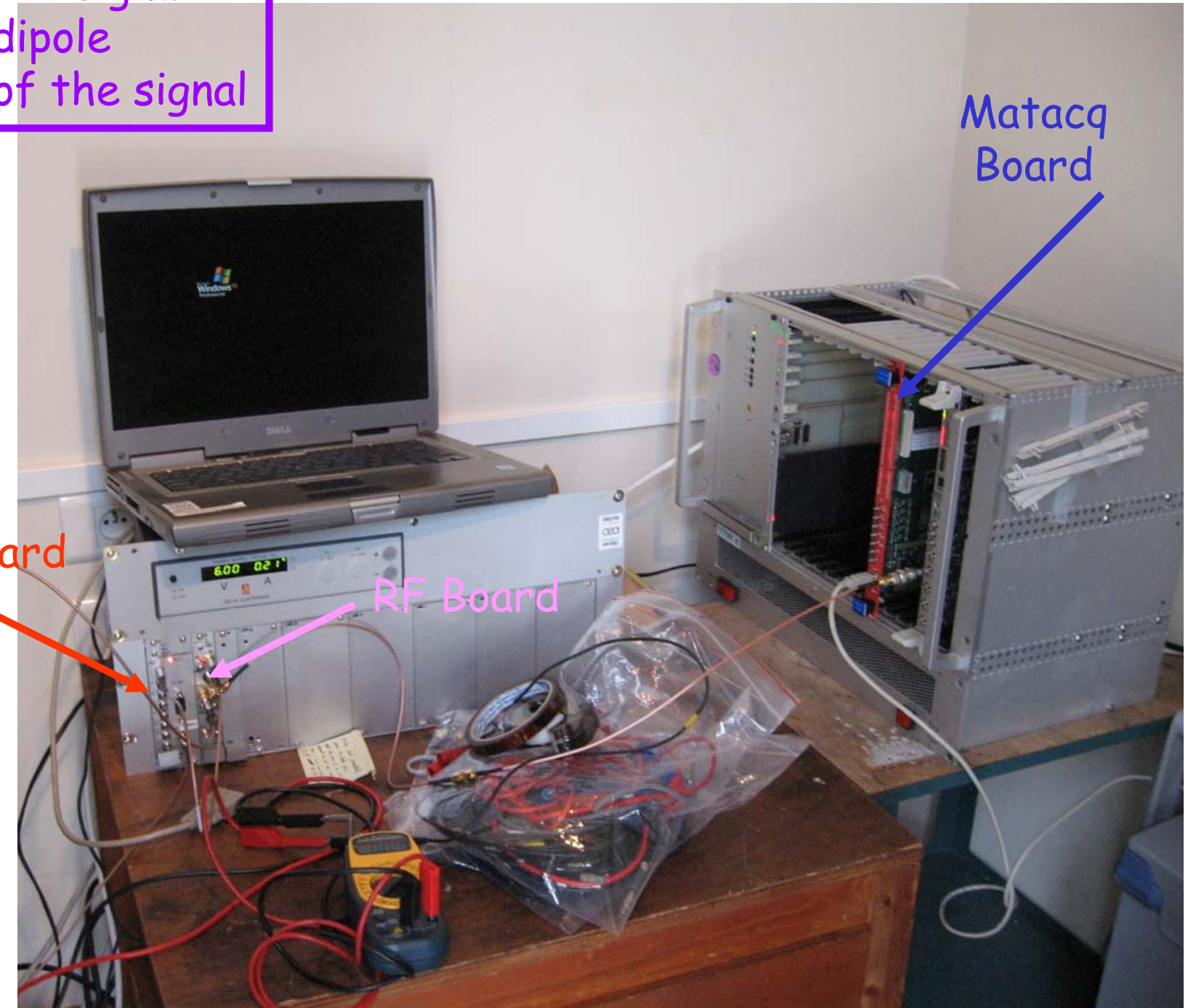
P₂₁(k, z=0.5) - PNoise(T_{sys}=50 K)
FOV ~ 20 deg² S ~ 10 000 m²



Inside the focal carriage

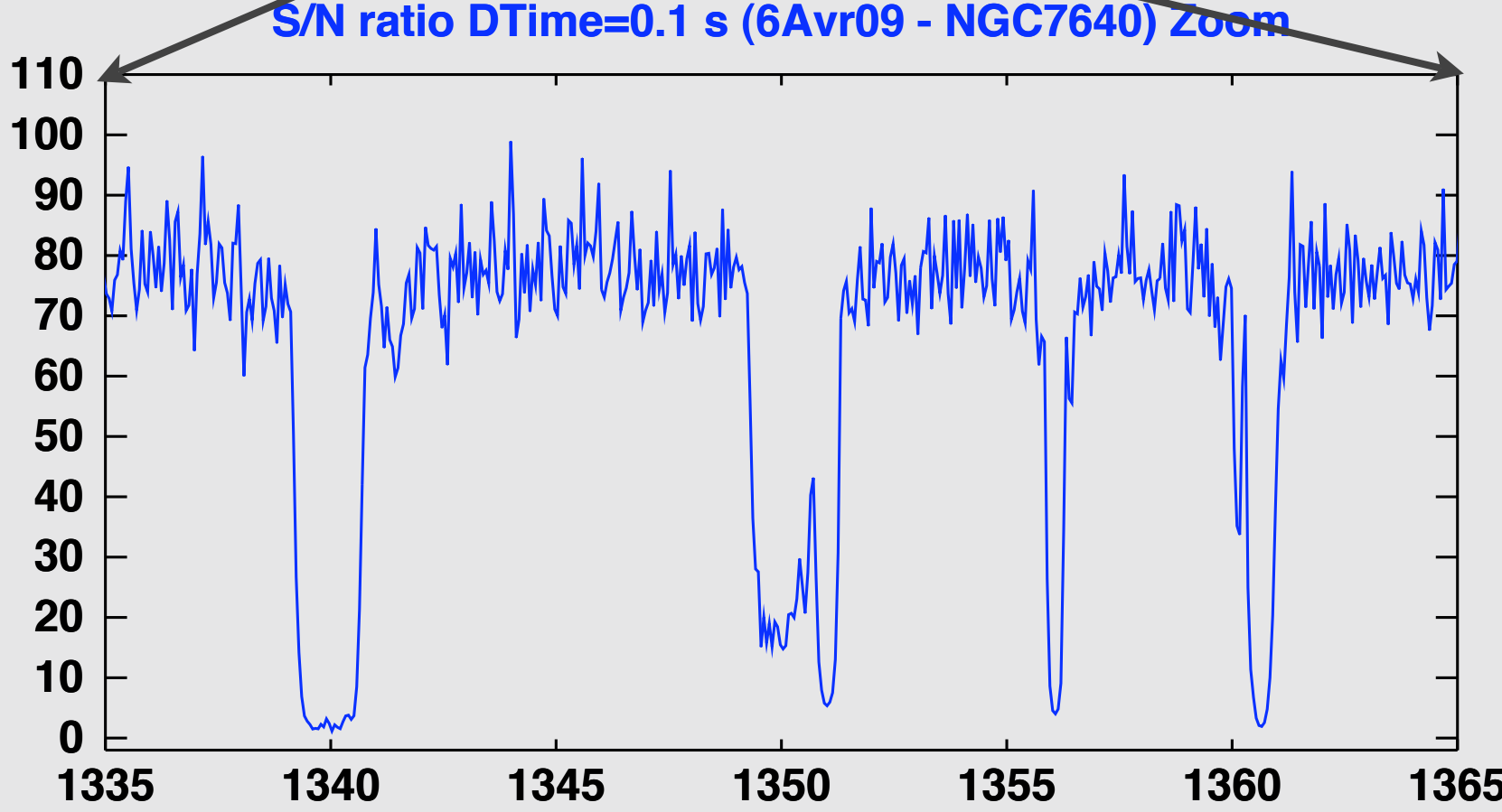
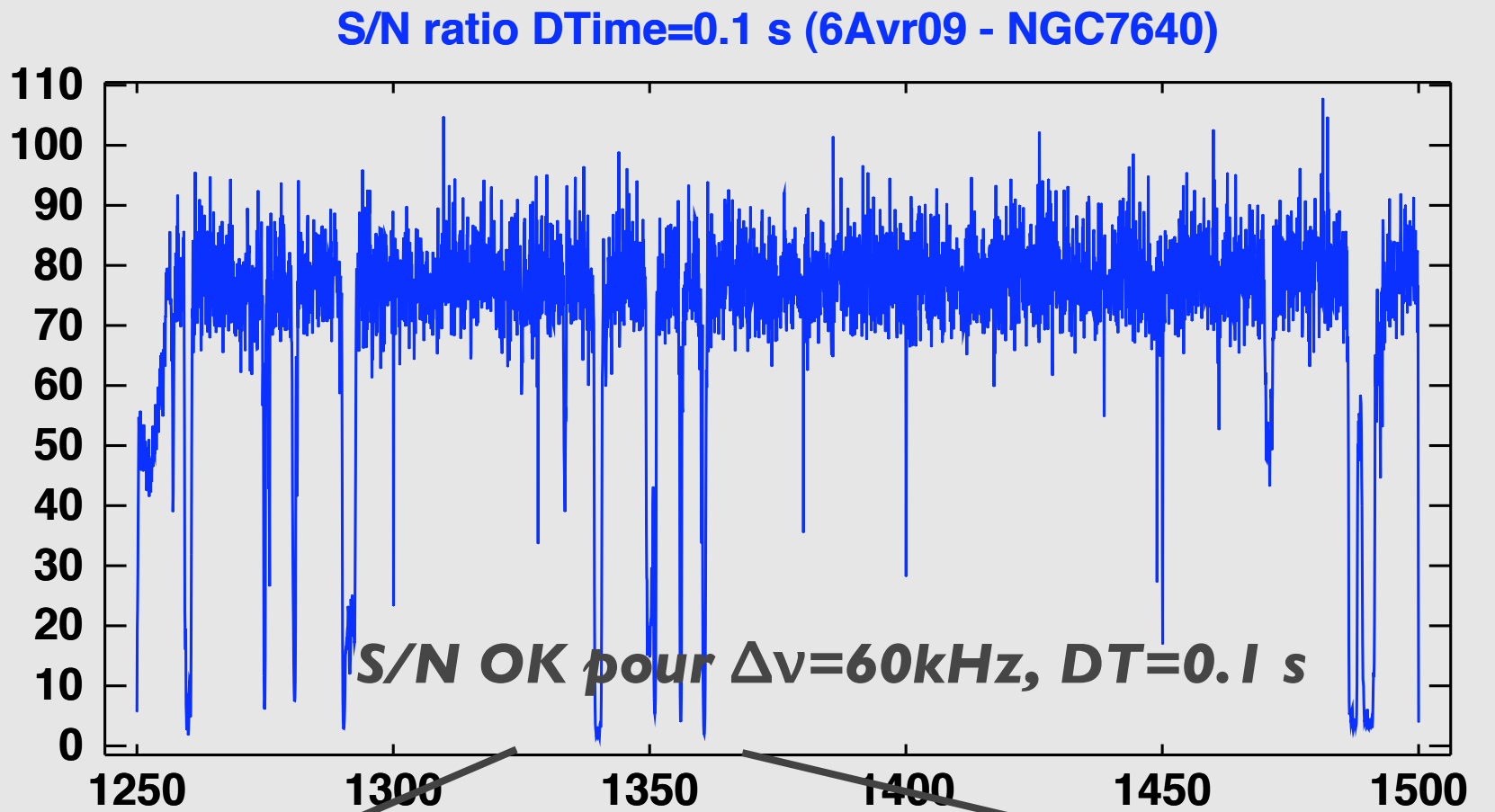


Amplified signal
from dipole
~1/10 of the signal



Données NRT avec électronique BAORadio sur NGC7640

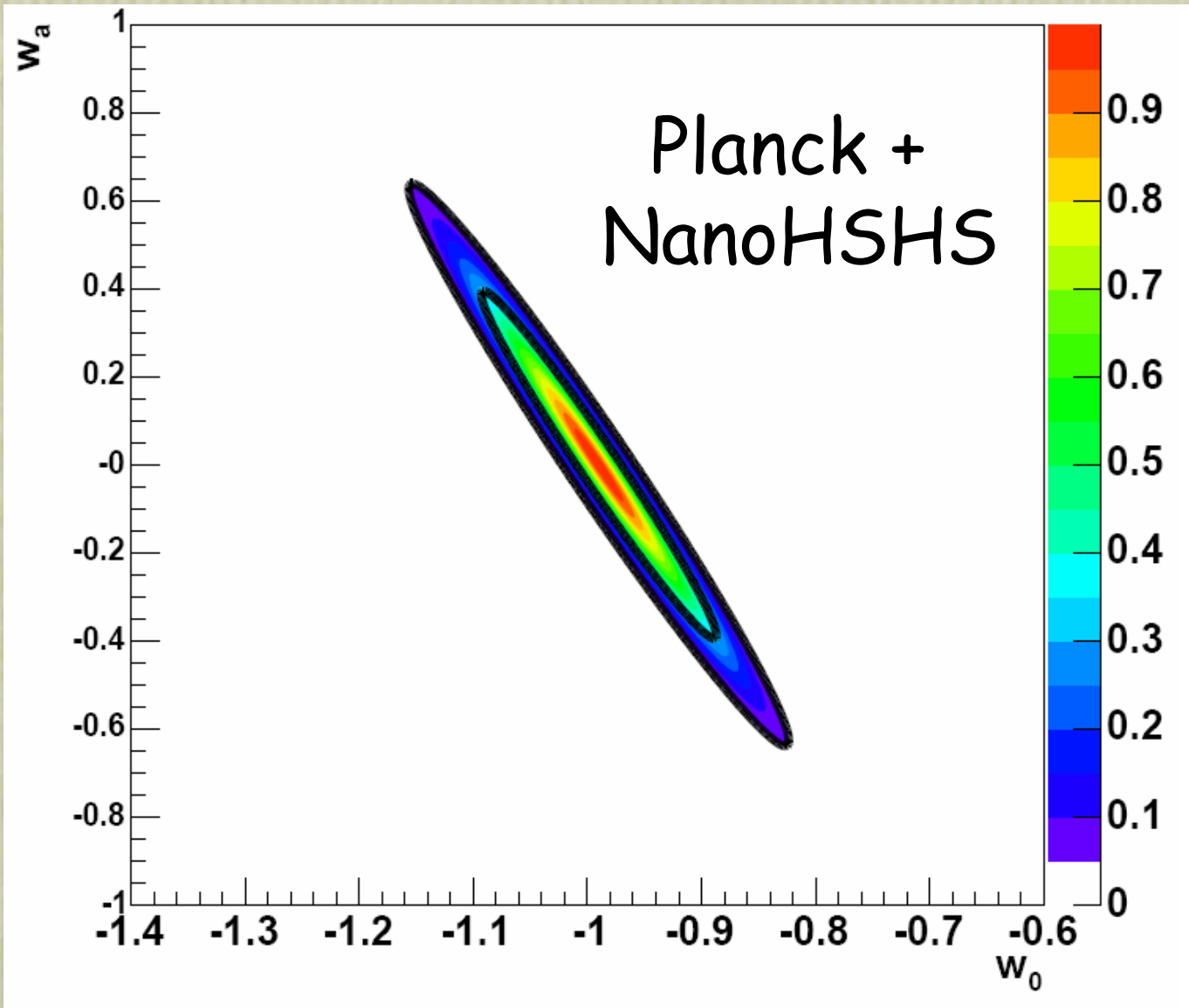
Rapport S/N 1250 ... 1450 MHz



Preliminary

Sensibilité BAORadio

$S \sim 10000 \text{ m}^2$



$$FOM = \frac{1}{\sigma(w_a)\sigma(w_0)\sqrt{1-\rho^2}}$$

- DE : $p = w(z) \rho$
- $w(z) = w_0 + w_a z/(1+z)$
- Λ CDM, Determination (Minuit fit) of $(w_0, w_a, h, \Omega_m, \Omega_b)$ to k_{\parallel} and k_{\perp} , Acoustic horizon : as
- $k_{\parallel}(z) \sim c / H(z) / a_s$
- $k_{\perp}(z) \sim a_s / D_A(z)$
- 8 slices $0 \leq z \leq 1.6$
- Fisher matrix error analysis
- $\sigma(w_0) \sim 0.05, \sigma(w_a) \sim 0.05$ for an H₂I-radio survey